

FIG. 1

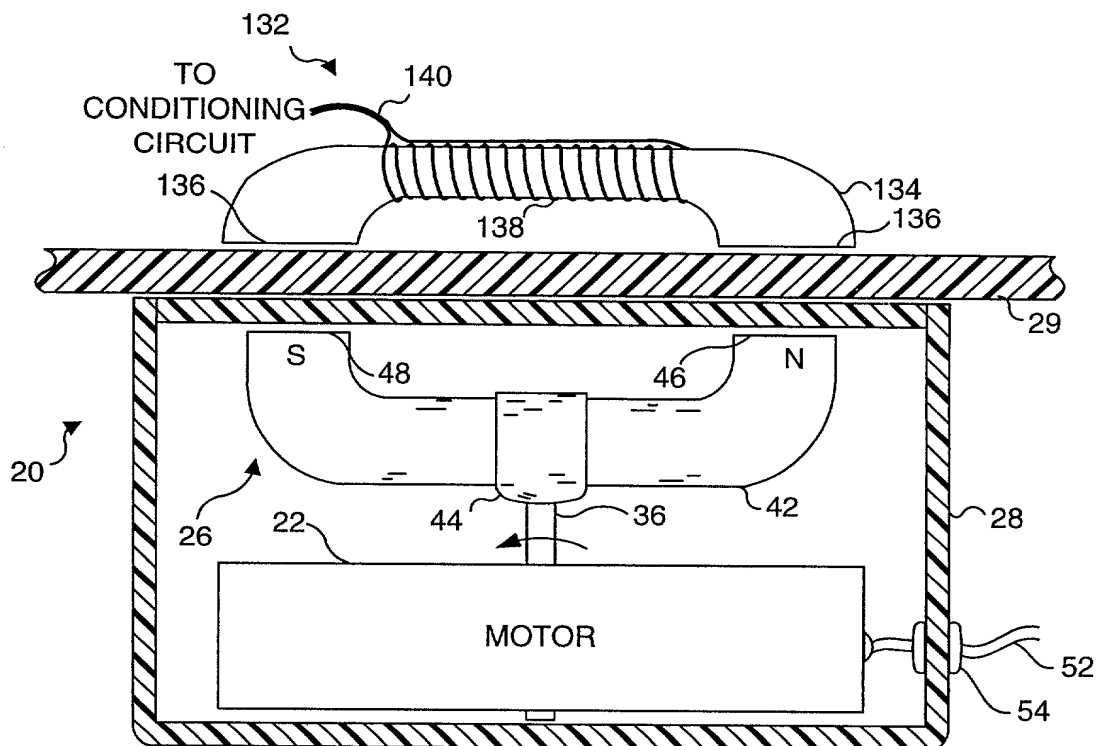
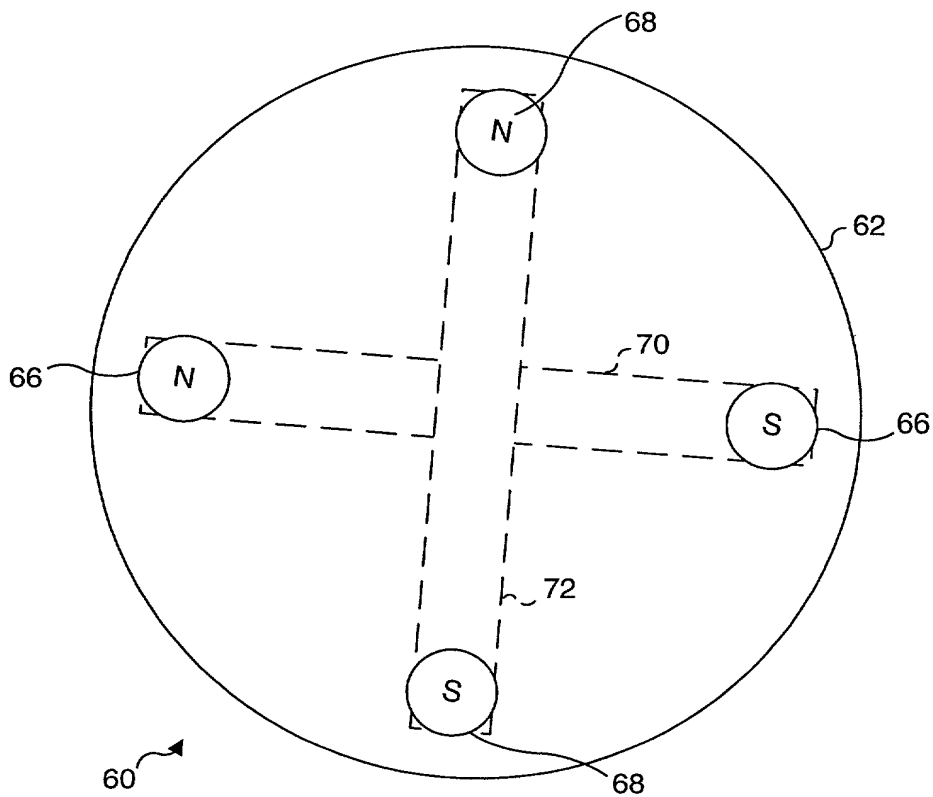
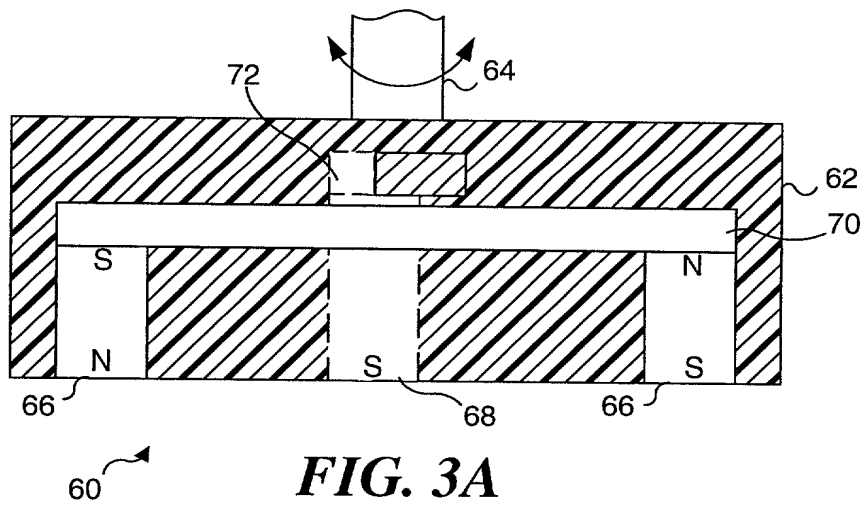


FIG. 2



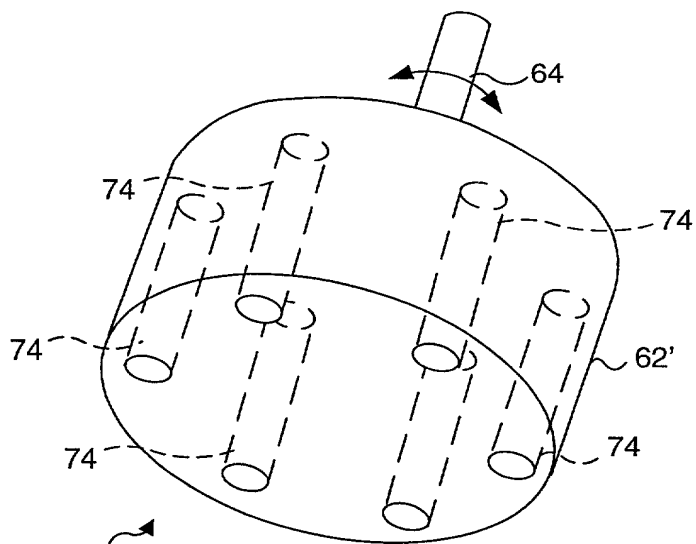


FIG. 3C

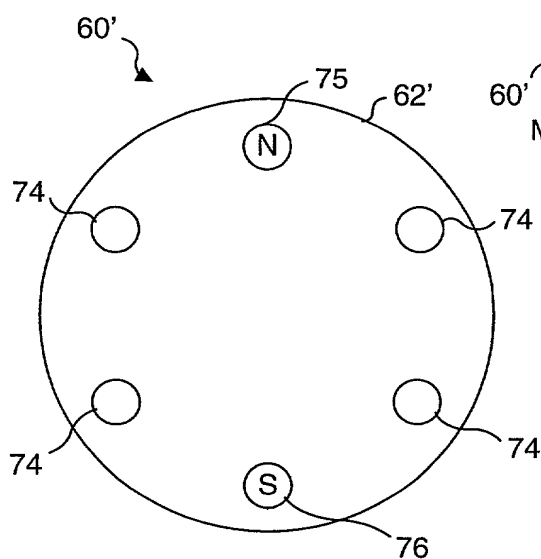


FIG. 3D

MAGNETIC FIELD
INTENSITY

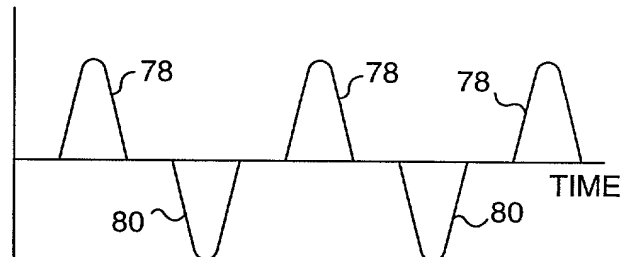


FIG. 3D'

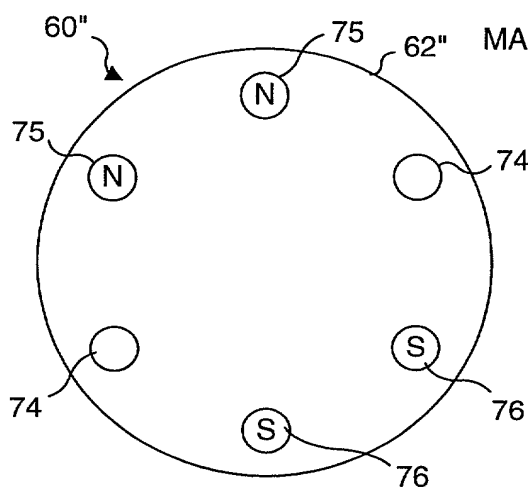


FIG. 3E

MAGNETIC FIELD
INTENSITY

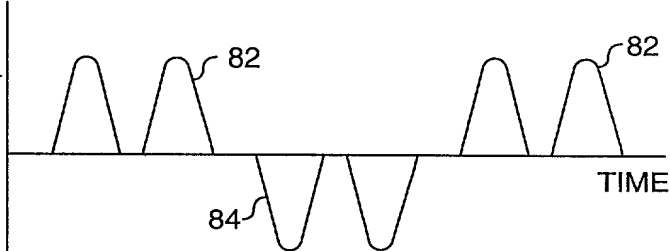


FIG. 3E'

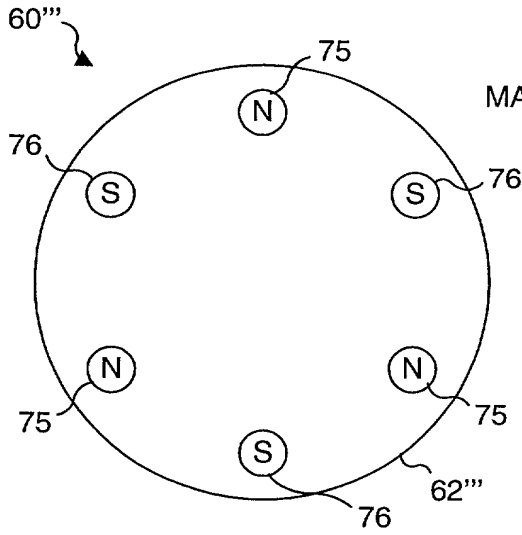


FIG. 3F

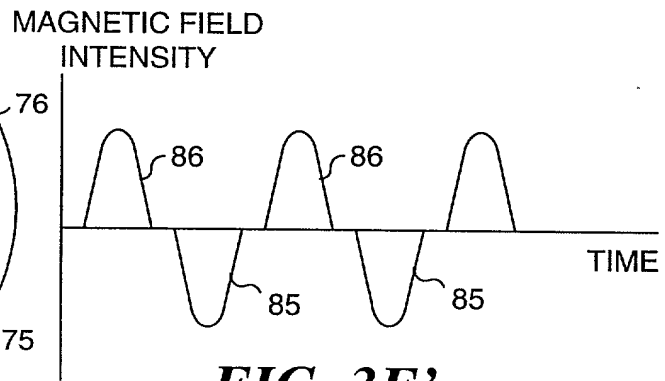


FIG. 3F'

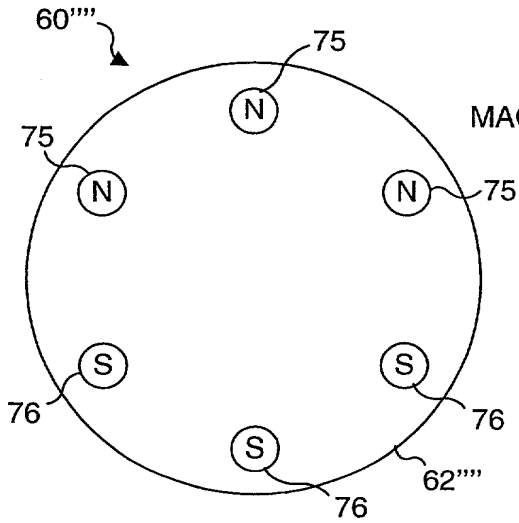


FIG. 3G

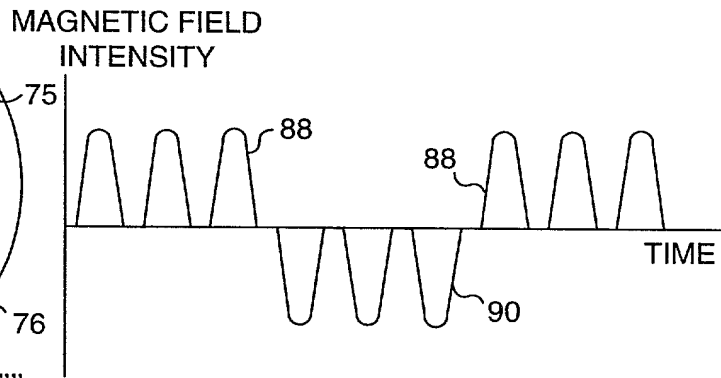


FIG. 3G'

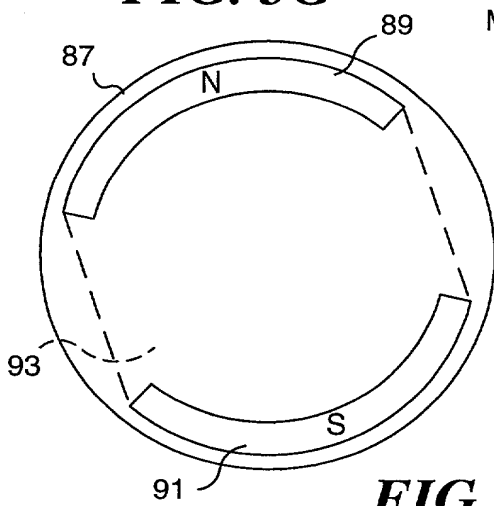


FIG. 3H

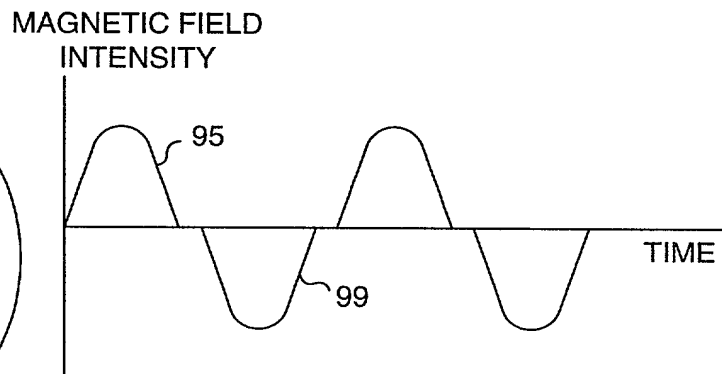


FIG. 3H'

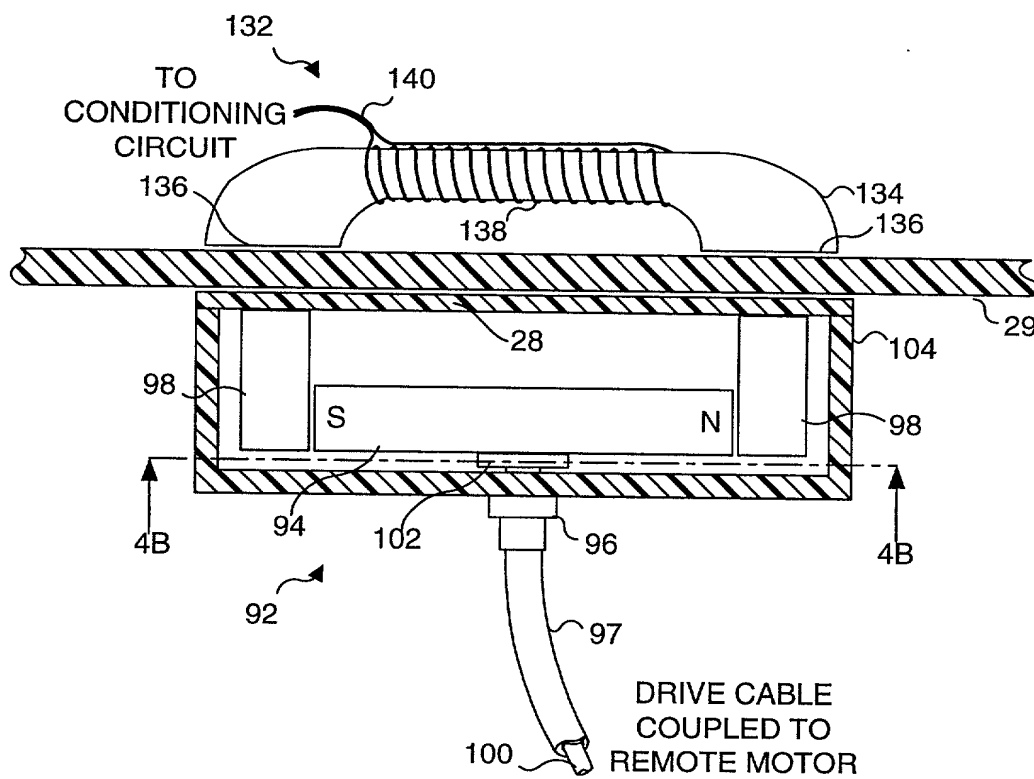


FIG. 4A

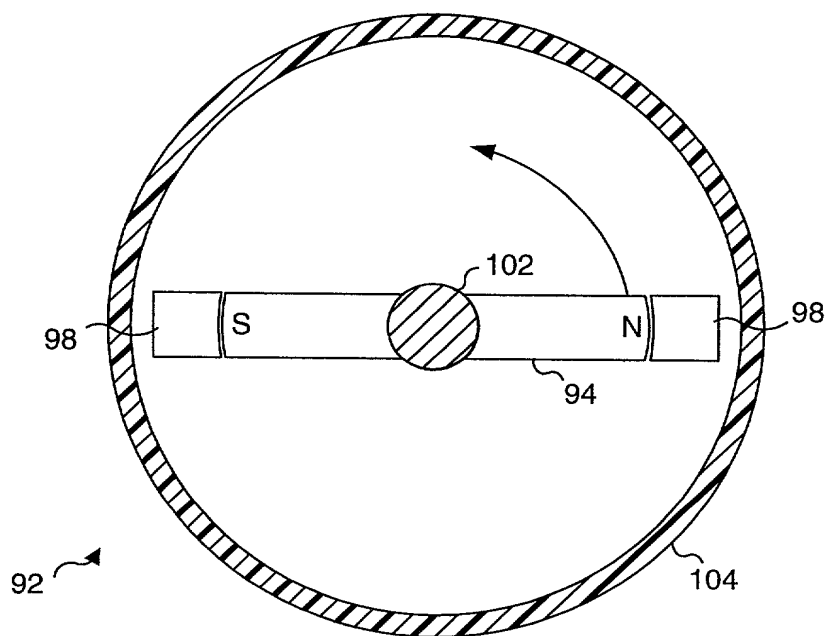


FIG. 4B

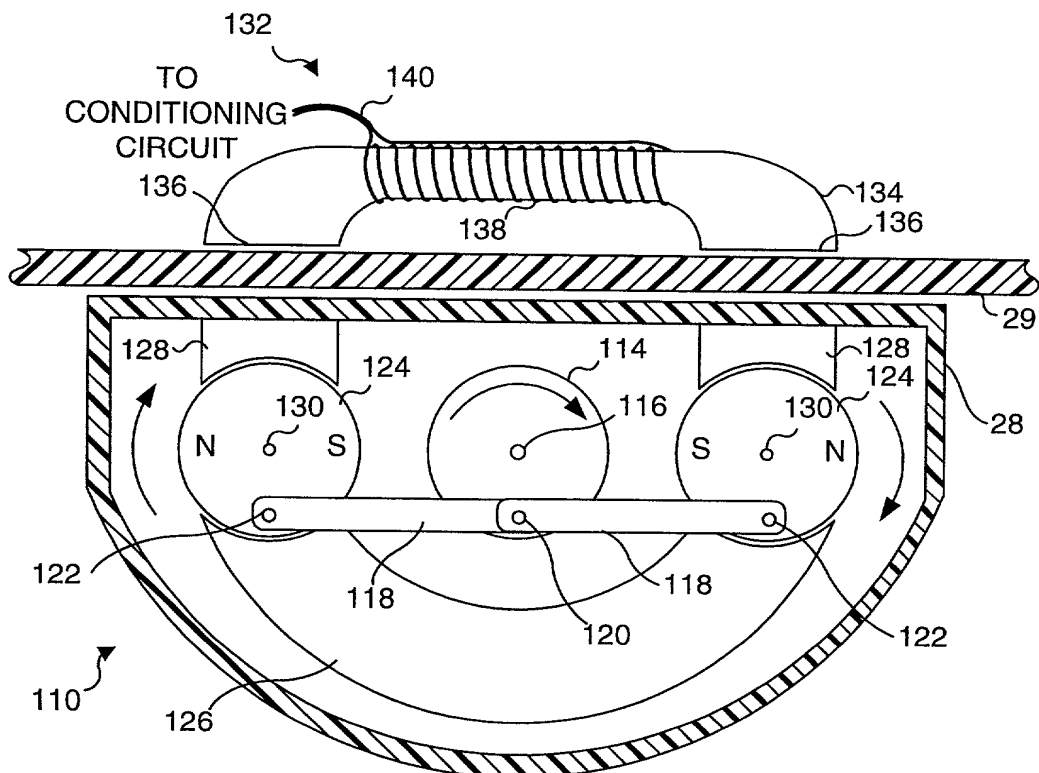


FIG. 5

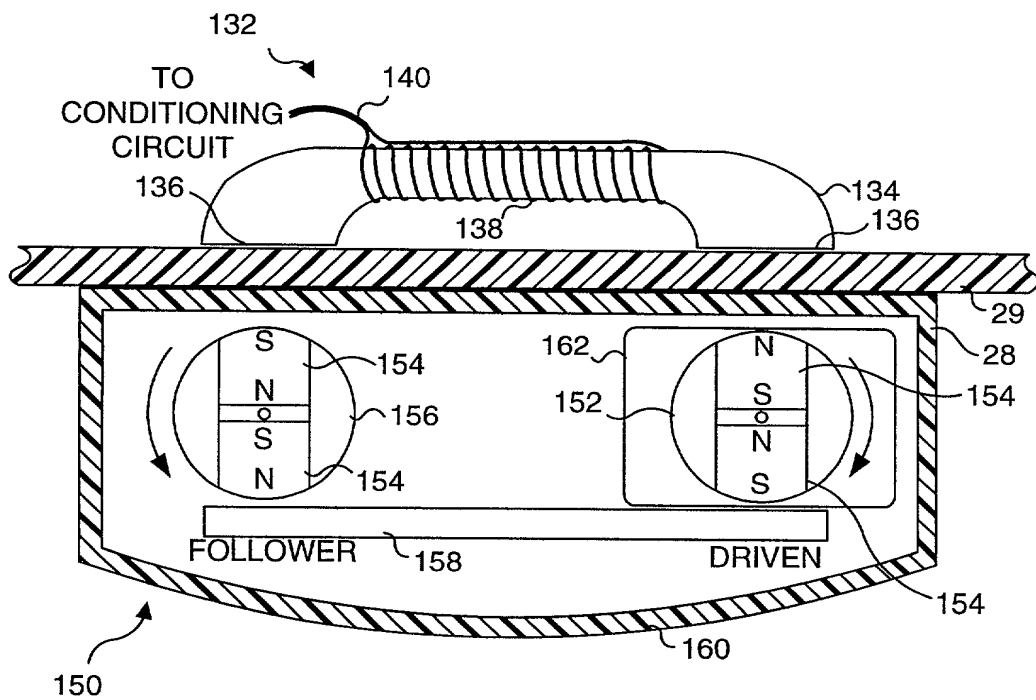


FIG. 6A

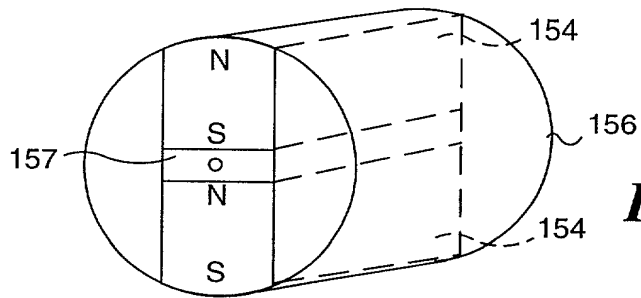


FIG. 6B

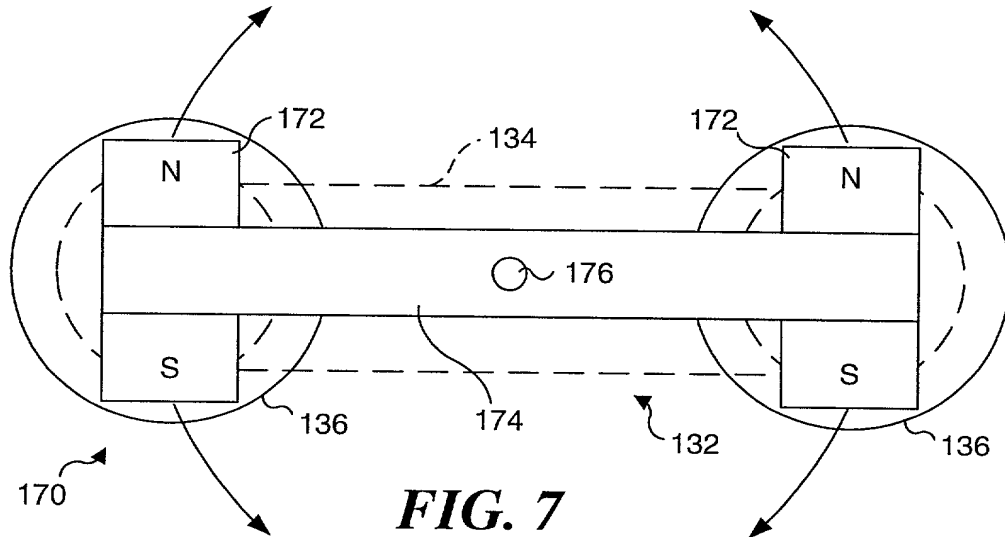


FIG. 7

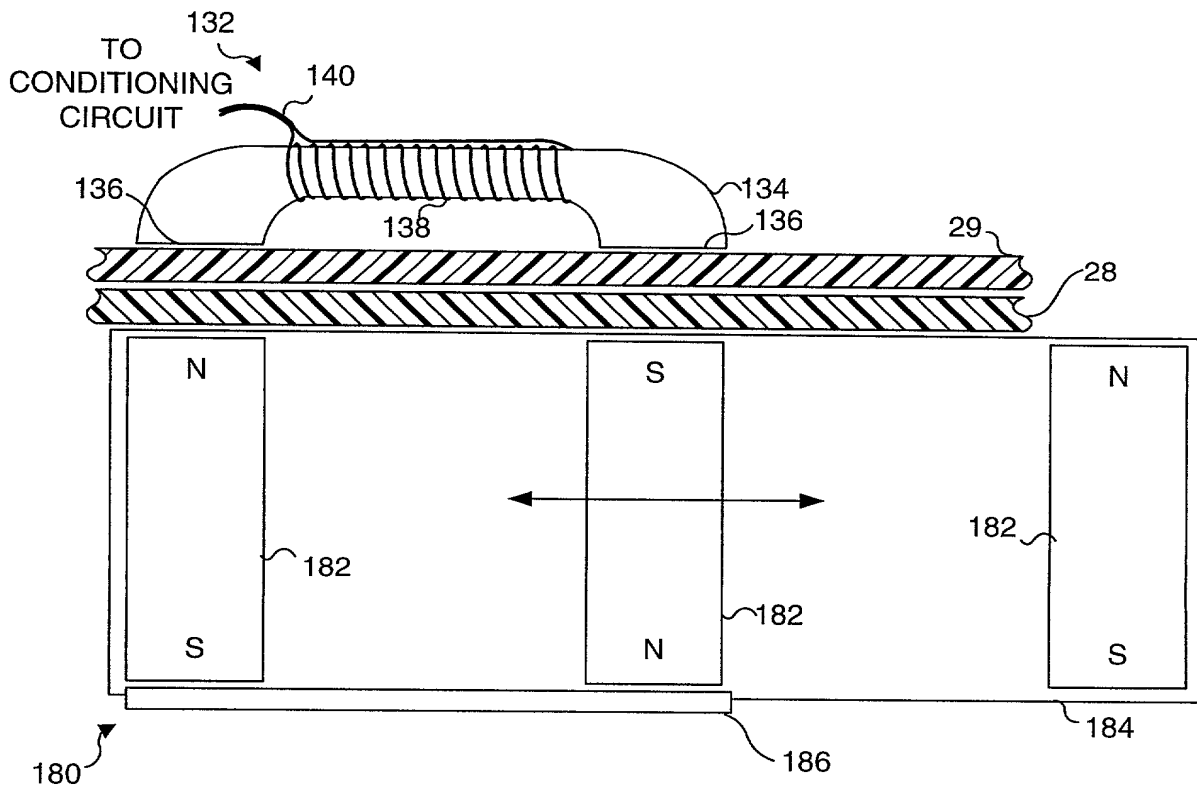


FIG. 8

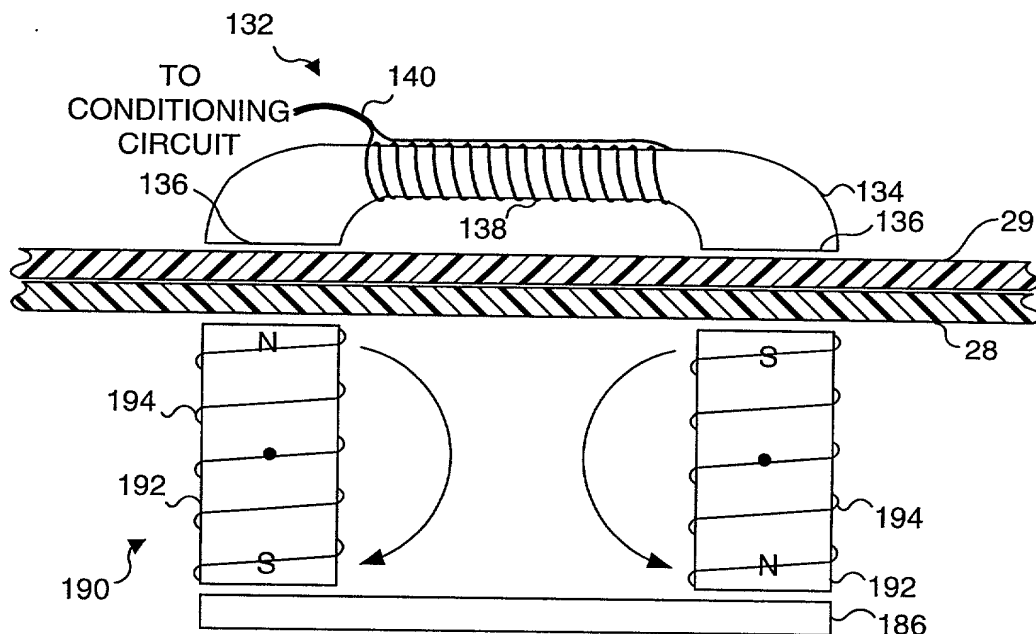


FIG. 9

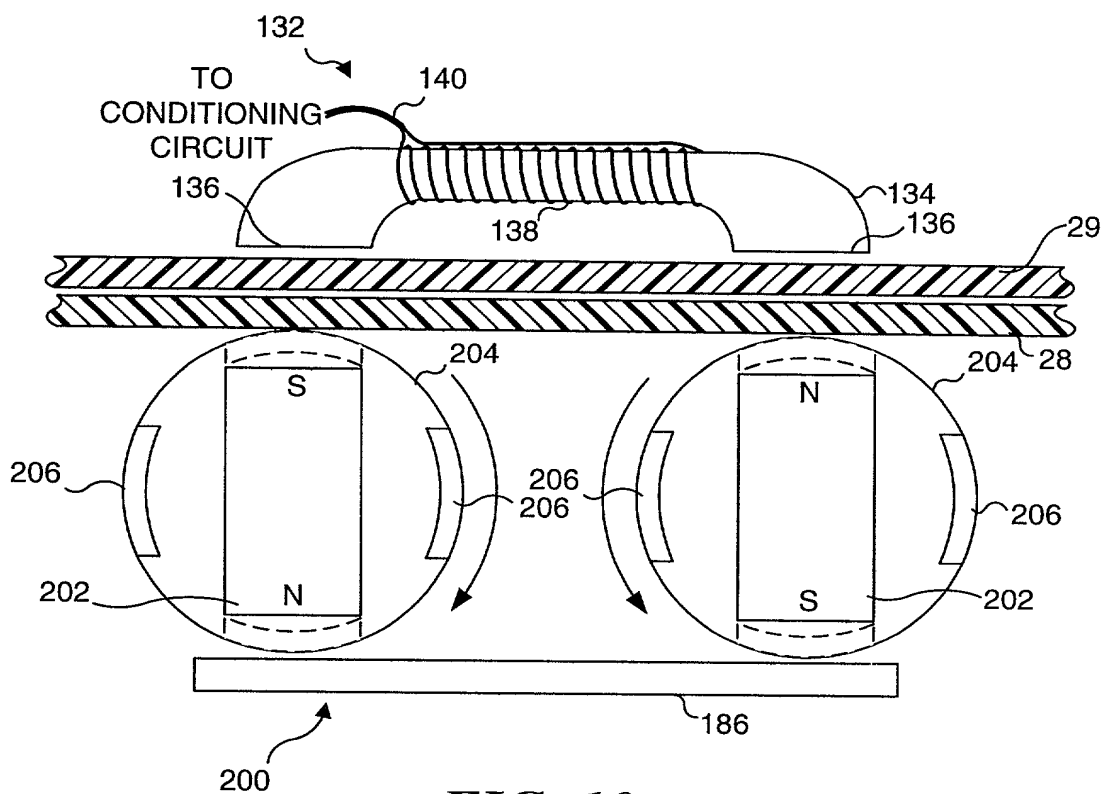


FIG. 10

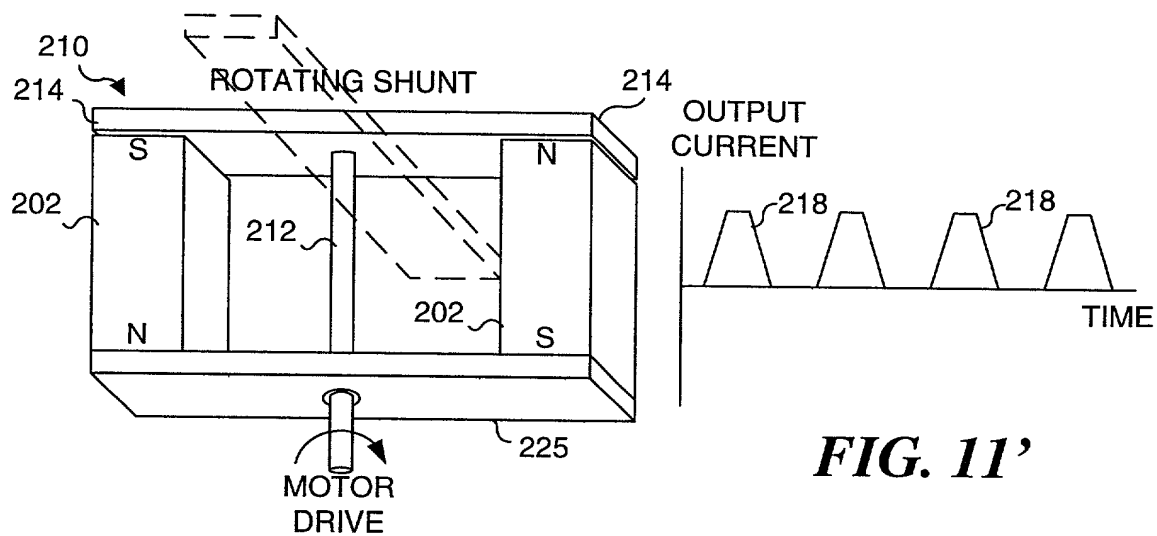


FIG. 11'

FIG. 11

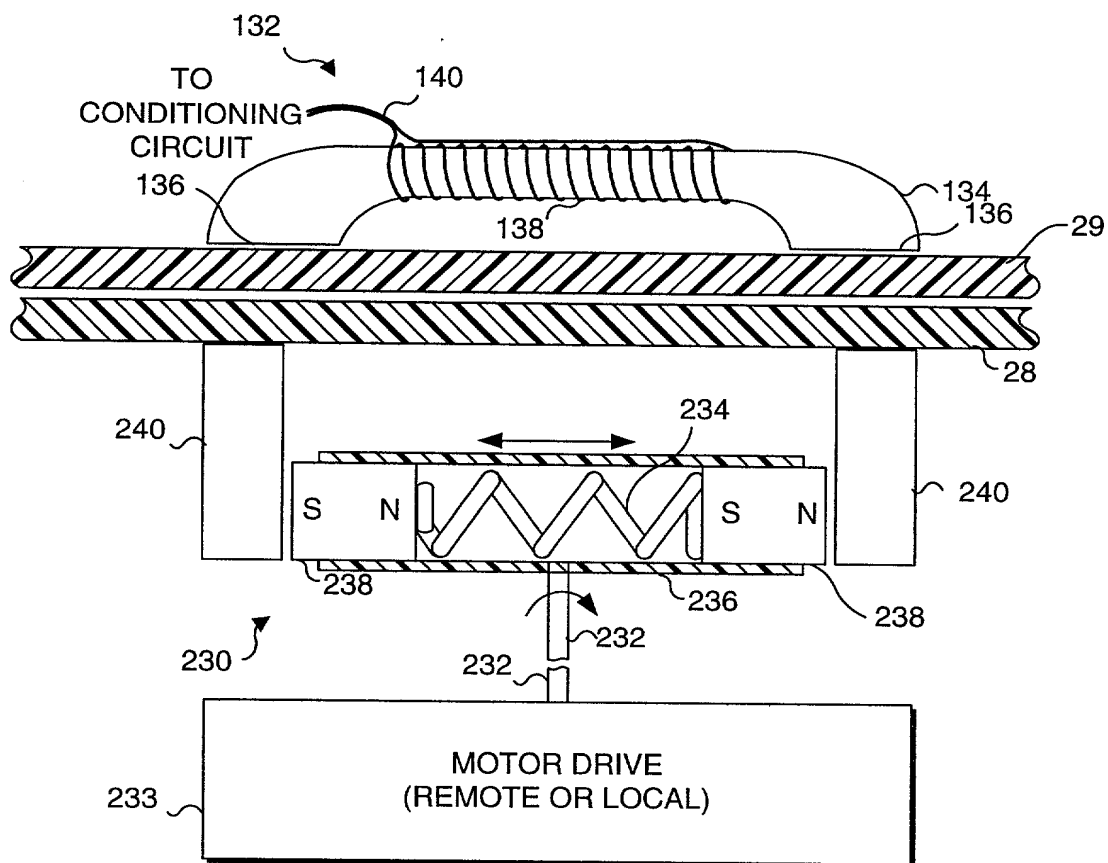


FIG. 12

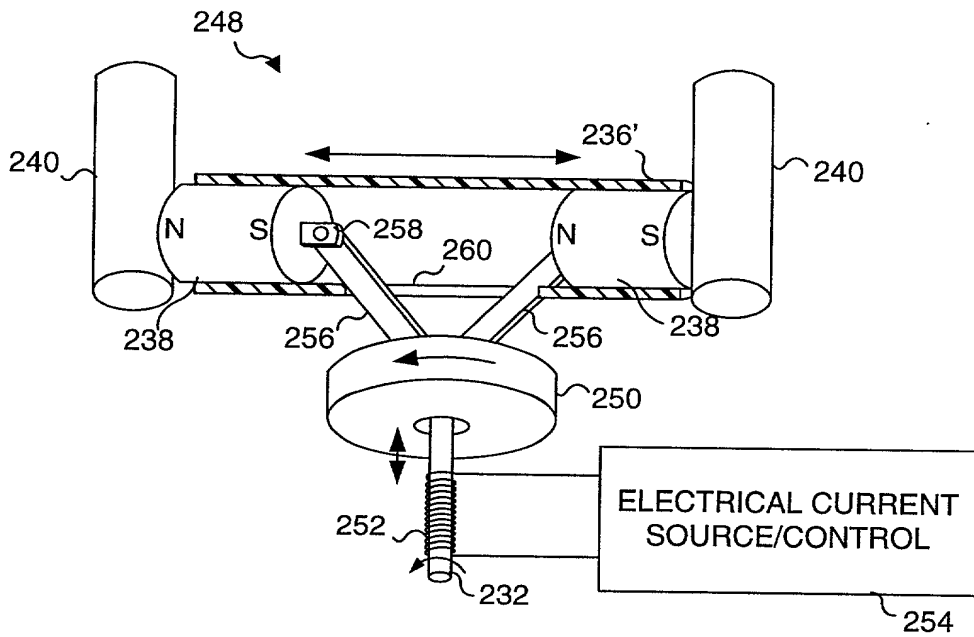


FIG. 13A

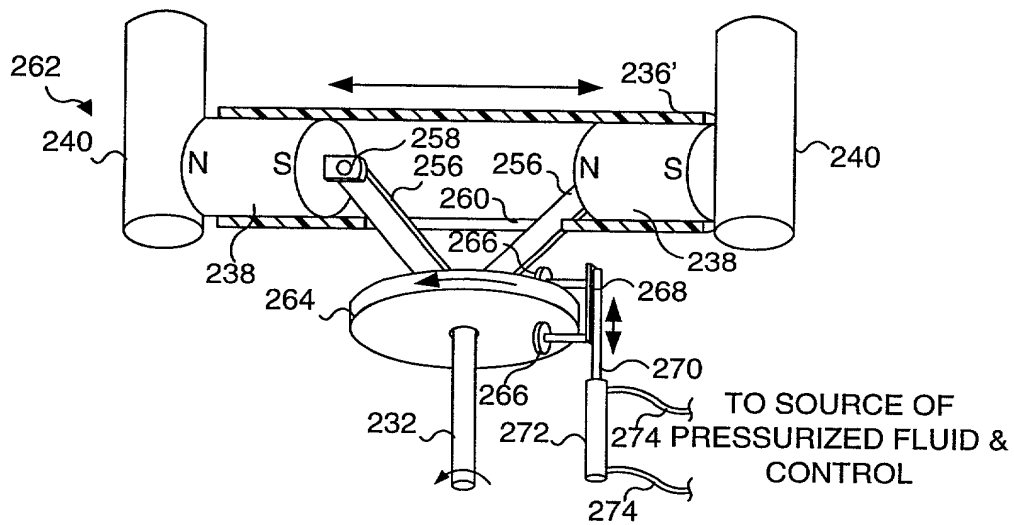


FIG. 13B

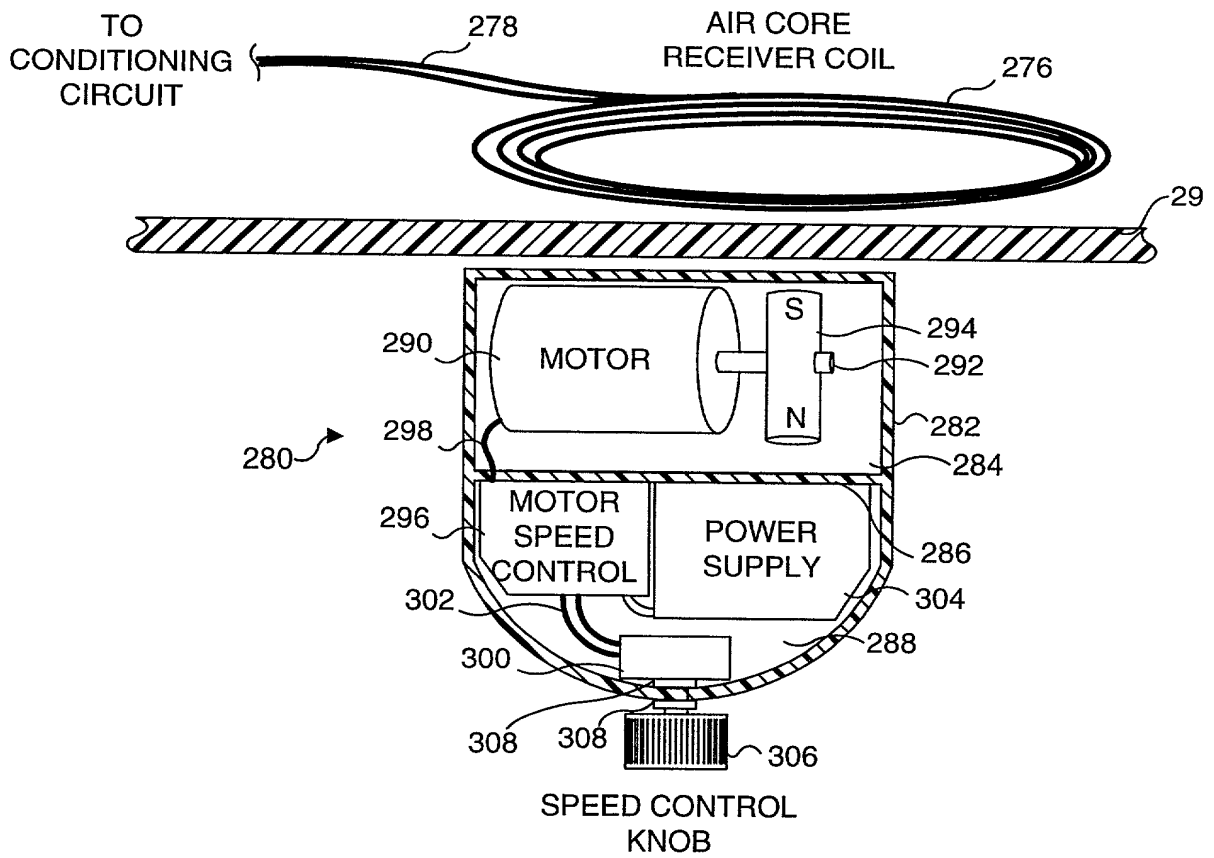


FIG. 14

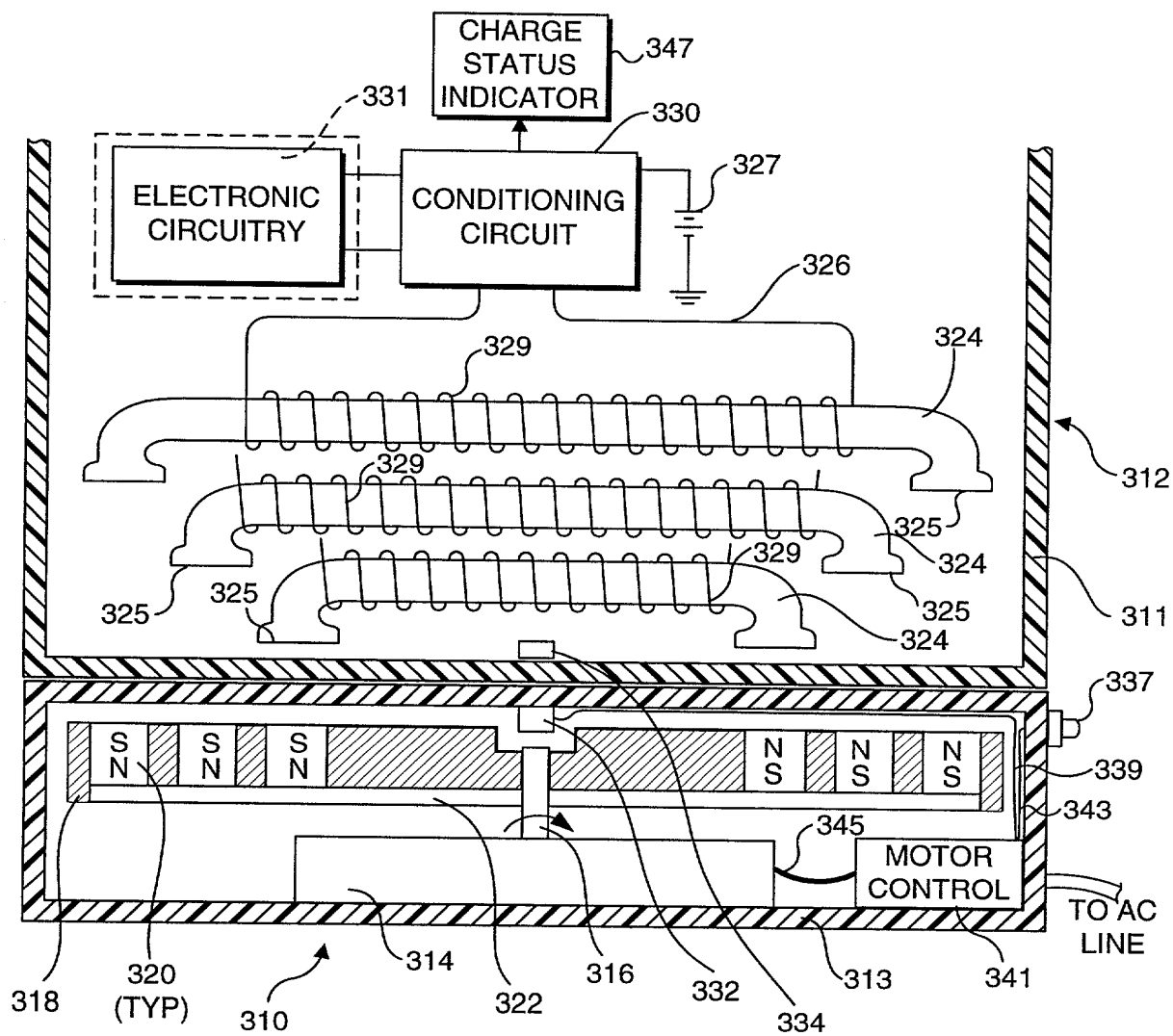


FIG. 15A

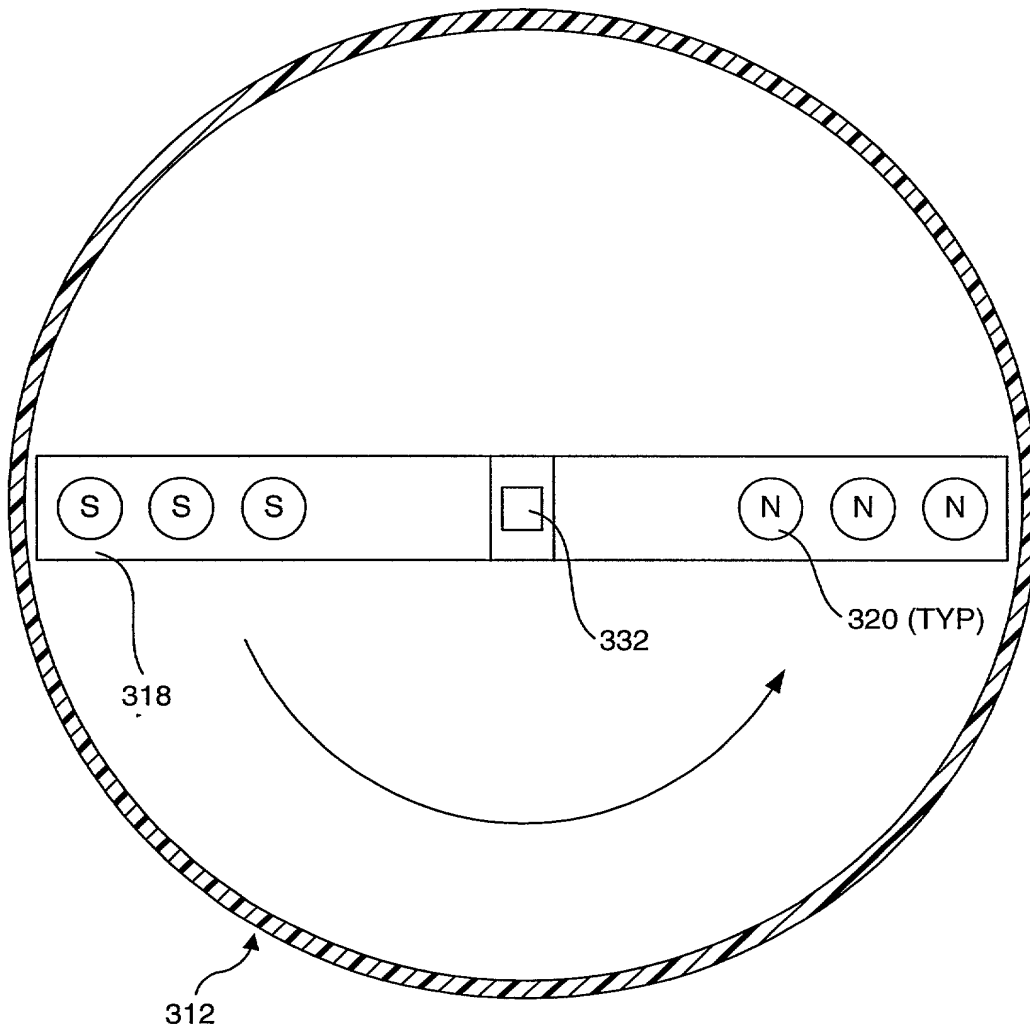


FIG. 15B

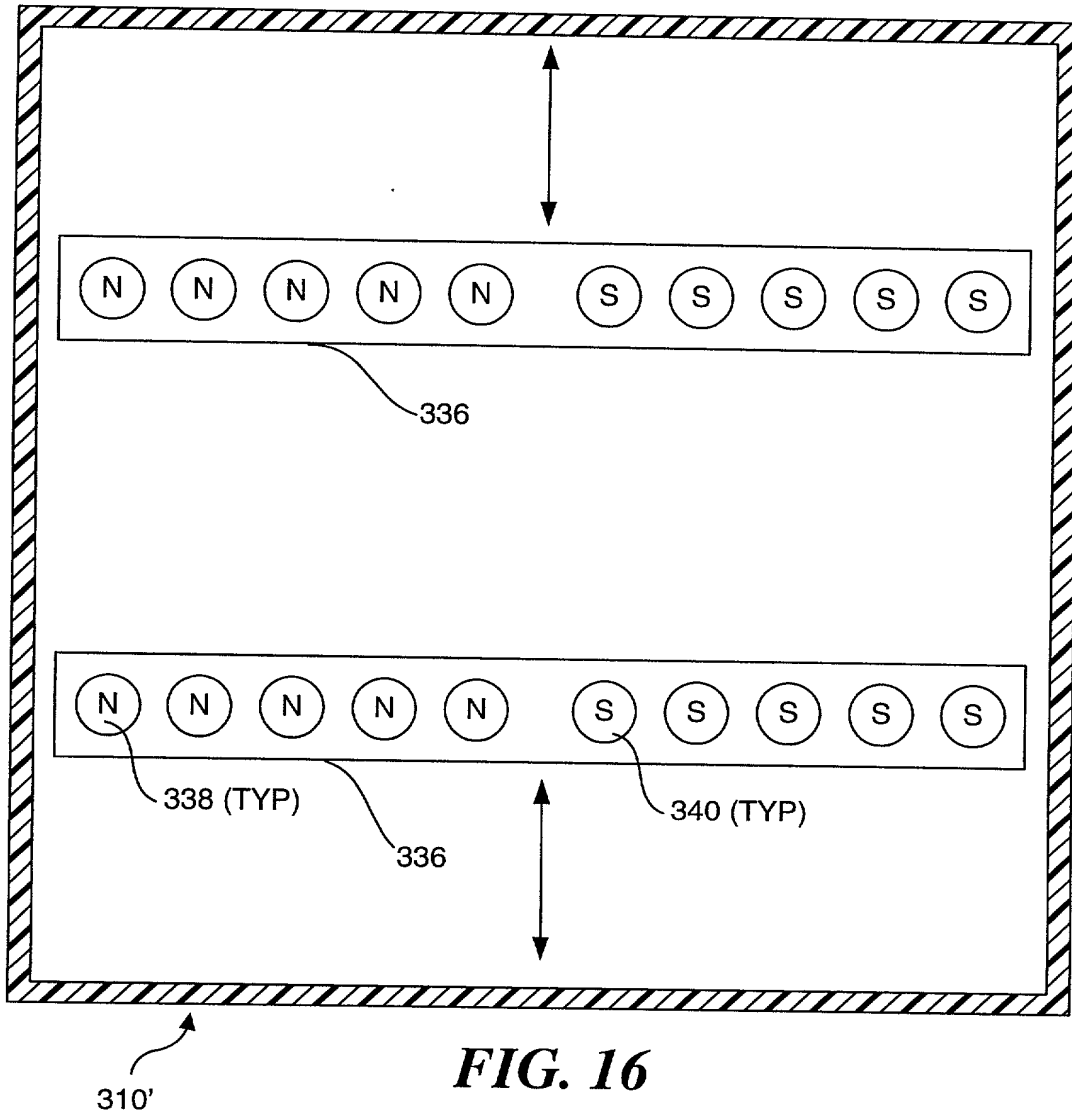


FIG. 16

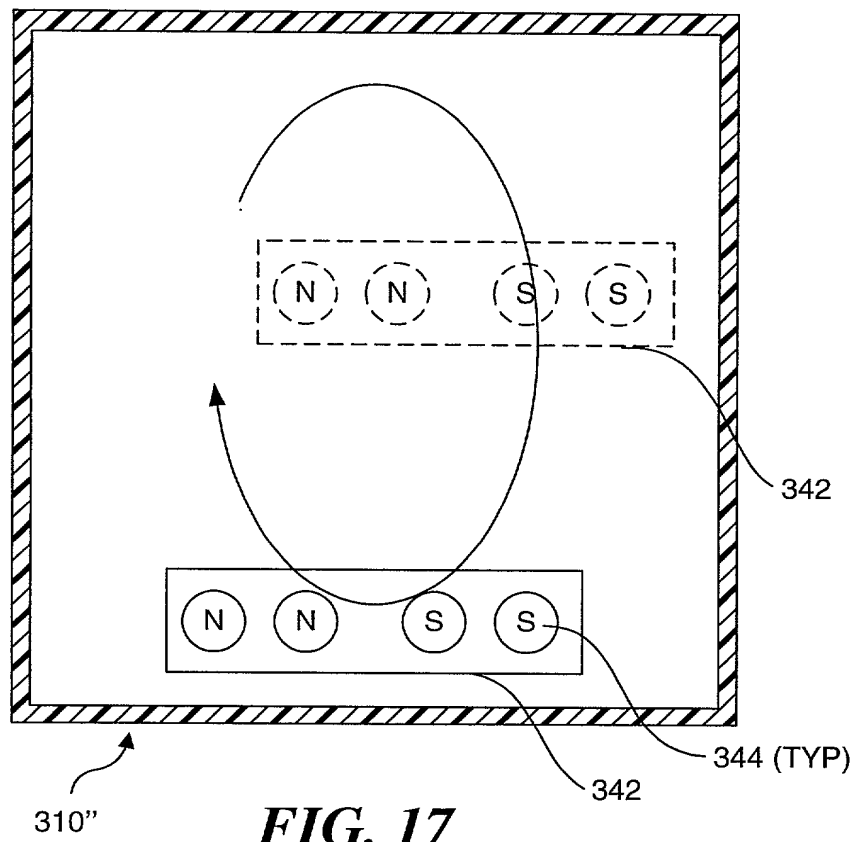


FIG. 17

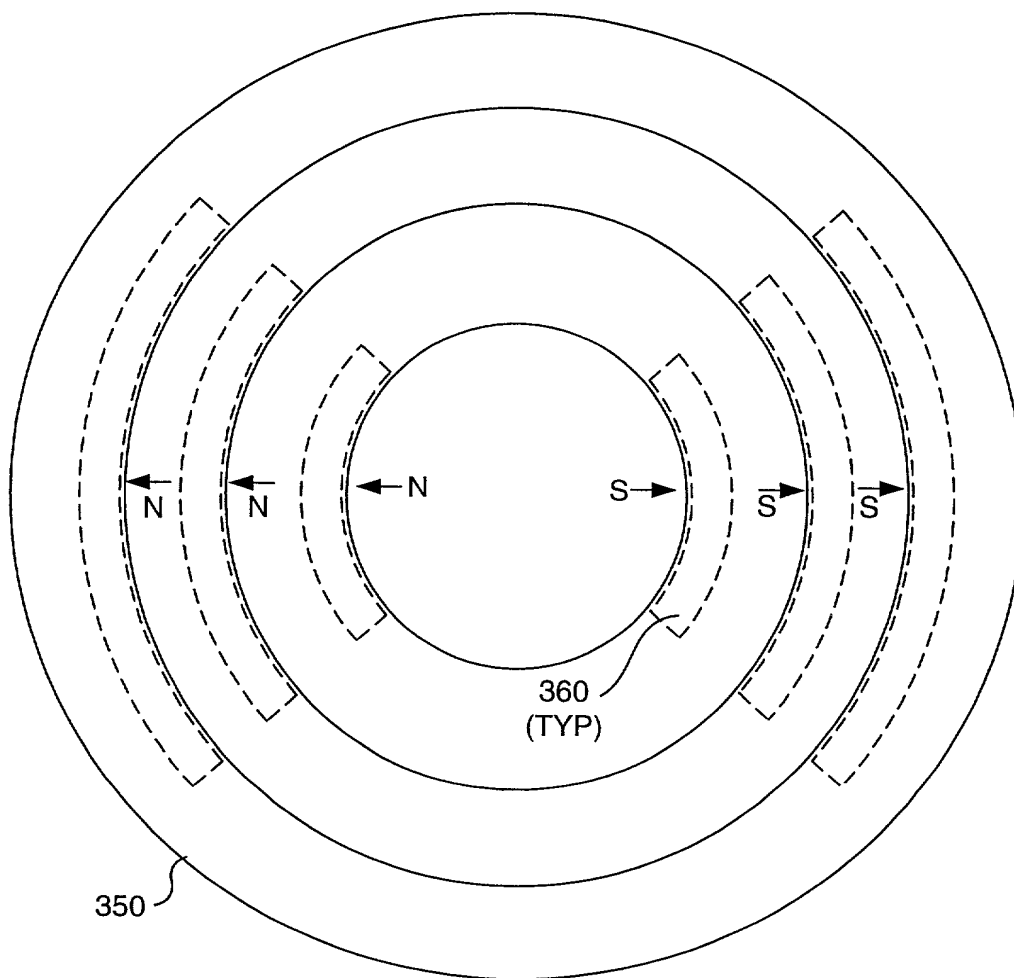


FIG. 18A

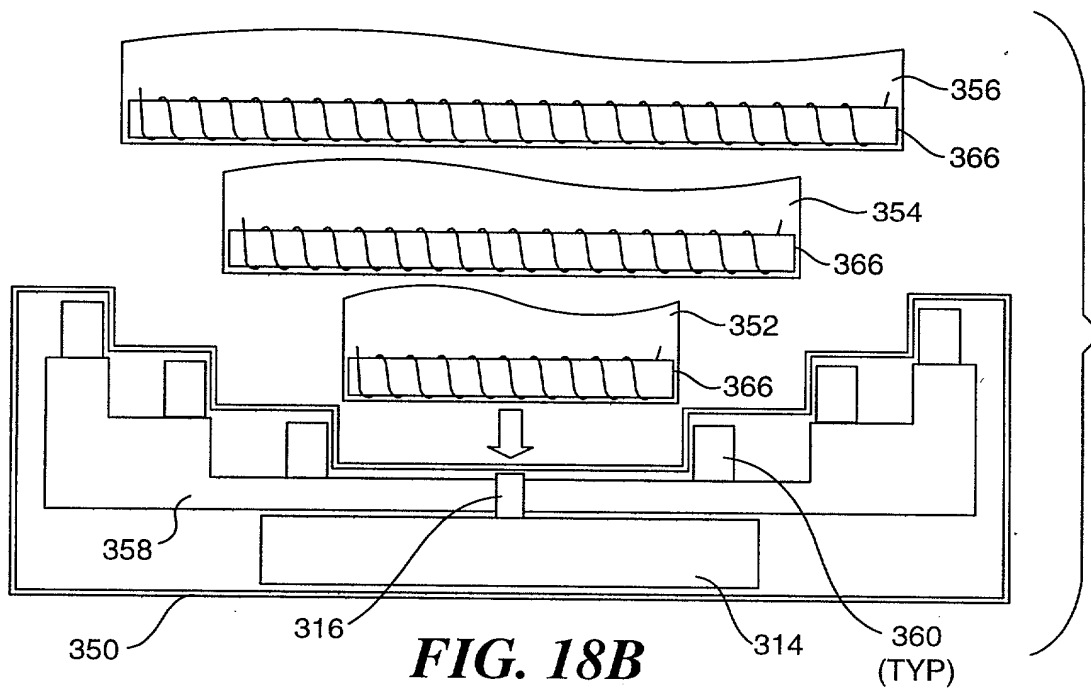


FIG. 18B

